

Лабораторные работы с фантомами от торсионных генераторов

В.А. Жигалов¹, В.В. Брунов²

I. ВВЕДЕНИЕ

Настоящий отчет описывает результаты лабораторных работ, которые проводились 3 февраля 2010 года в ВНИЦТНМ “ЭНИОМ” (Центр Гальперина) в ходе совещания по торсионным технологиям. Целью экспериментов было изучение эффекта фантомов от торсионных генераторов различных конструкций. В качестве индикаторов фантомов использовались как приборные, так и неприборные методы.

Фантомом в данной работе мы называем геометрический объём, в котором аномально протекают некоторые физические процессы. Описываемые результаты предварительны; эксперименты имеют поисковый характер.

Участники лабораторных работ: В.В. Брунов, А.В. Бобров, В.А. Жигалов, И. Иващенко, Ю.П. Кравченко, А.И. Полетаев.

II. ОБЩАЯ СХЕМА ЭКСПЕРИМЕНТОВ

Эксперимент по поиску фантомов от торсионных генераторов проходил в помещении лаборатории биофизического тестирования и имел следующую схему проведения. Три различных конструкции торсионных генераторов последовательно ставилось в некоторых точках в лаборатории на короткое время (5–10 минут), затем генераторы убирались. До постановки генераторов (фон), а также после каждой установки три оператора поочередно обследовали помещение и сообщали ассистенту положение аномальных областей: один оператор с биолокационными рамками (В.В. Брунов) и два оператора с приборами ИГА-1 (И. Иващенко и Ю.П. Кравченко).

Далее для краткости оператор В.В. Брунов обозначен как оператор Б (биолокационный метод), а операторы И. Иващенко и Ю.П. Кравченко - П1 и П2, соответственно (приборный метод).

Операторам было неизвестно расположение генераторов, на момент обследования генераторы были уже удалены из помещения.

Последовательность работы генераторов и операторов:

- 1) Обследование помещения операторами Б, П1, П2 (фон 1)
- 2) “Очистка” помещения
- 3) Обследование помещения операторами Б, П1, П2 (фон 2)
- 4) Работа генератора ТГ1
- 5) Обследование помещения операторами Б, П1, П2
- 6) Работа генератора ТГ2
- 7) Обследование помещения операторами Б, П1, П2
- 8) “Очистка” помещения
- 9) Обследование помещения оператором Б
- 10) Работа генератора ТГ3
- 11) Обследование помещения операторами Б, П1

Помещение было размечено сеткой 1x1 м с помощью меток в виде картонных карточек с номерами 1...23 (Рис. 1), они располагались на полу и на столах.

Методика измерений с биолокационной рамкой (оператор Б) заключалась в перемещении оператора по помещению с измерением отклонения рамок по лимбу с делениями. Вставая на точку, оператор называл ассистенту усреднённое отклонение двух рамок (в каждой руке - по рамке) в помеченных точках, и тот записывал на предварительно распечатанных бланках со схемой помещения эти положительные либо отрицательные числа - по одному числу на метку (см. Таблицу I).

Методика измерений с ИГА-1 существенно отличалась: операторы П1 и П2, перемещаясь с прибором по помещению, определяли границы аномалий по отклонению стрелки прибора, и показывали ассистенту границы аномалий. Точность такого способа измерений составляет около 10 см (хотя прибор позволяет разрешать границы с точностью около 5 см, но из-за невысокой точности разметки и экспресс-способа занесения границ на бланки точность в данном эксперименте оказалась снижена). Примерно такую же точность по координатам мы оцениваем и в биолокационном способе.

Помимо операторов Б, П1 и П2, в помещении во время экспериментов присутствовал ассистент, а также видео-оператор, фиксирующий эксперимент на видео.

III. ФОНОВЫЕ ИЗМЕРЕНИЯ

Первый заход операторов заключался в обследовании “фона”, до всех активных действий в помеще-

¹ zhigalov@gmail.com

² 89115298102@mail.ru

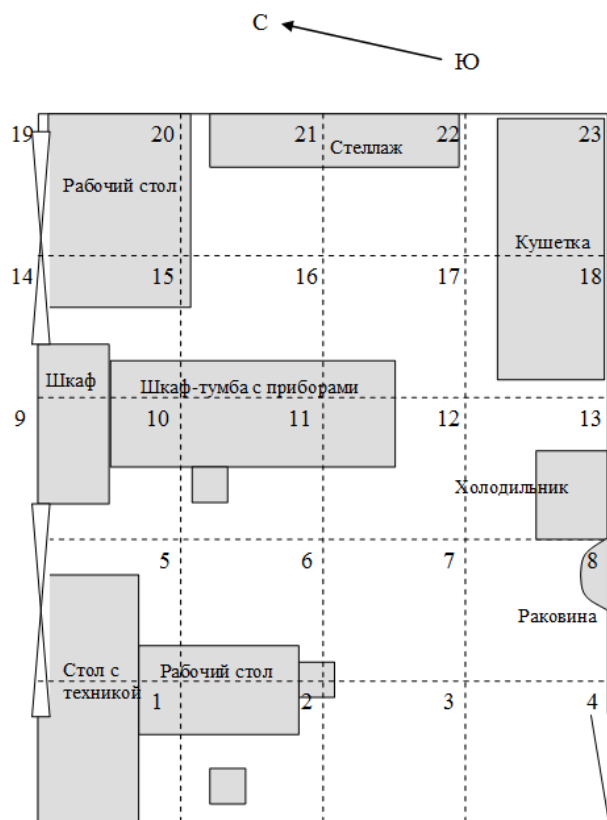


Рис. 1. План лаборатории (шаг сетки – 1 м).

Таблица I
Показания оператора Б – по координатным точкам

Точка	Фон1	Фон2	Г1	Г2	Г3
1	15.0	10.0	12.5	3.0	6.0
2	12.0	5.0	3.5	4.0	-12.0
3	10.5	3.0	2.5	3.0	-16.0
4	8.0	3.5	3.0	6.0	-22.0
5	14.0	11.5	10.0	-13.5	6.0
6	12.0	7.0	-11.5	-12.0	14.0
7	10.5	3.0	-13.0	3.0	-13.5
8	-16.0	-15.0	-15.0	-14.0	-14.0
9	16.0	12.5	12.0	-13.0	-14.0
10	12.5	10.5	12.0	-14.0	12.0
11	12.0	6.0	-16.0	9.0	11.5
12	13.0	12.0	-16.5	3.0	-27.0
13	15.0	15.0	13.0	12.0	9.0
14	12.0	11.0	12.0	5.0	10.0
15	10.5	0.5	9.0	1.5	3.0
16	8.0	0.5	2.0	4.0	4.5
17	9.0	6.0	4.5	-12.0	10.5
18	13.0	12.0	5.0	-15.0	12.0
19	9.0	10.0	5.5	-8.0	9.0
20	7.0	10.5	3.0	3.0	4.5
21	6.5	5.0	4.5	14.0	9.0
22	2.0	5.0	3.5	5.0	2.0
23	3	5	5	5	8

нии. Здесь “приборные” операторы отметили границы найденных геопатогенных сеток, а также других аномальных мест. Такими местами оказались (Рис. 2):

- 1) Выключенный компьютер (области “О1а”, “О2а”);
- 2) Раковина (точка 8);
- 3) Холодильник (область “О2б”);
- 4) Зона в углу помещения, в изголовье кушет-

ки (область “О1в”). Всё это было нанесено на размеченные бланки.

Сравнение результатов двух “приборных” операторов показывает расхождения в локации геопатогенных сеток. То ли операторами П1 и П2 были найдены разные сетки (сетки Курри и Хартмана), то ли имела место ошибка, хотя локация отдельных точек пересечения линий практически совпадают (точки 5, 16 на Рис. 2). В ходе обследования помещения оператором П1 было замечено аномальное пятно над стулом, где лежал полиэтиленовый пакет одного участника совещаний (“О16”). Прибор реагировал именно на пакет, а не на стул (это проверялось перемещением пакета на 1 метр). Интересно, что при обследовании оператором П2 этого места с уже убраным пакетом (через 30 минут после обследования П1) оно было распознано как пересечение геопатогенных линий.

На Рис. 3 показаны замеры оператора Б (они предшествовали замерам П1 и П2). Единственная найдённая “патогенная” точка (8) – раковина.

IV. “ОЧИСТКА” И ПОВТОРНЫЕ ИЗМЕРЕНИЯ ФОНА

После начального измерения фона тремя операторами В.В. Бруновым была проведена операция “очистки” помещения с помощью свечи.

Методика “очистки” помещений пламенем свечи. Зажегши восковую свечу, очищение помещения начинают или с середины, или от двери. Двигаясь по спирали, по часовой стрелке, делают свечой крестообразные движения (“закрепчивают” комнату; при этом для большей эффективности лучше читать “Отче наш” – про себя или вслух). Если свеча даёт копоть или трещит, то в этом месте крестов следует делать больше. Особенно тщательно очищают углы комнаты и также тщательно те места, где стоят или стояли электронные приборы (ЭВМ, телевизоры, микроволновые печи и т.д.). В наших экспериментах свеча давала копоть или трещала именно на участках, где были фантомы от работы торсионных генераторов. Заканчивают очищение свечой у двери комнаты. Свечу гасят, не задувая, а прищипывая пальцами фитилёк с пламенем.

После “очистки” помещения было проведено обследование всеми тремя операторами (Рис. 4). Сразу же укажем наблюдающиеся отличия до “очистки” и после. Операторы П1 и П2 отметили, что выраженность геопатогенных сеток стала заметно меньше (замечалось по отклонению стрелки), местами сетки пропали и не лоцировались, а размеры аномальных “пятен” уменьшились. По данным оператора П2, проявилось новое пятно (показано на рисунке как “О2в”). По данным оператора Б, наблюдалось уменьшение значений отклонения рамки.

V. ИЗМЕРЕНИЯ ПОСЛЕ РАБОТЫ ГЕНЕРАТОРА “РОМАШКА” (Г1)

Затем в этом помещении начались эксперименты с установкой торсионных генераторов. Сначала был

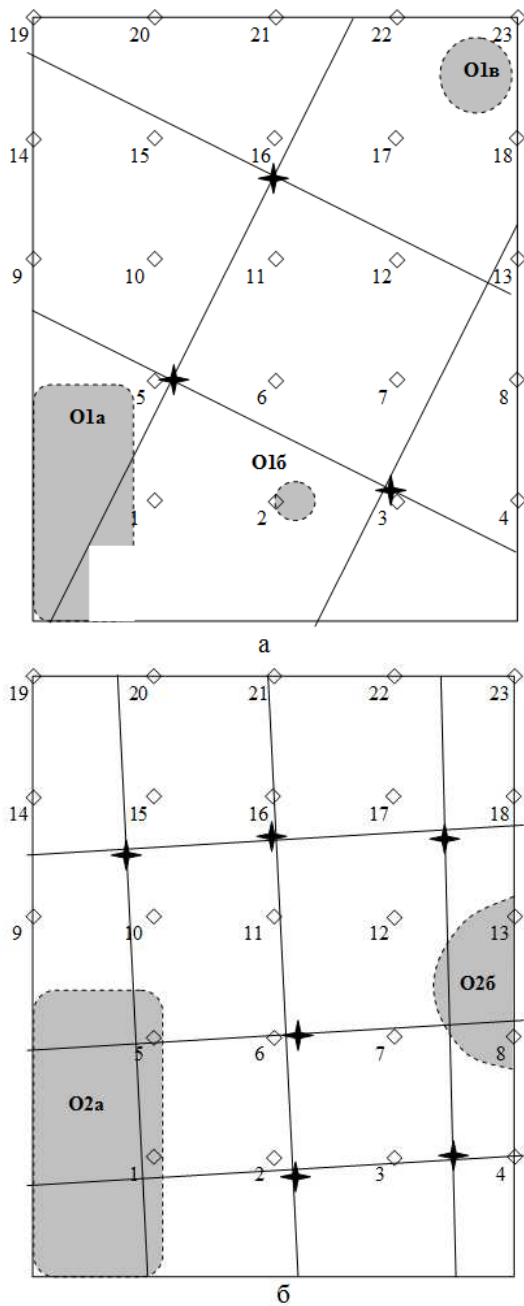


Рис. 2. Приборные исследования, фоновые замеры. Показаны узлы и линии геопатогенной сетки и области сильного фазового “фона”. а) оператор П1, б) оператор П2.

установлен статический генератор “Ромашка” конструкции Владимира Калинина. Он представляет из себя многолучевую конструкцию из дюралюминия.

Размер “Ромашки” - около 50 см, он был поставлен на 10 минут в координатную точку 7. В показаниях оператора Б (Рис. 5б) видна область порядка 1x1 м, с изменённым знаком (координатные точки 6, 7, 11, 12), которой не было на фоновых измерениях. Это можно интерпретировать как фантом от “Ромашки”.

По показаниям оператора П1, в помещении после постановки генератора Г1 возникла область порядка 2x2 м, касающаяся одним углом точки установки “Ро-

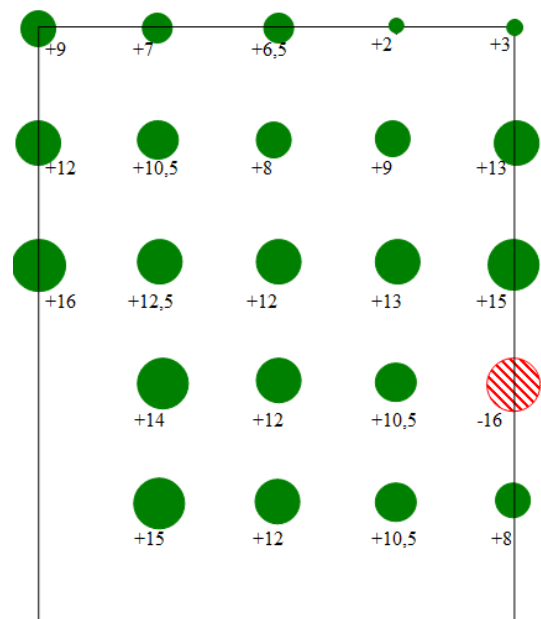


Рис. 3. Оператор Б, фоновые замеры.

машки” (область “О1б” на Рис. 5а). Кроме того, значительно увеличилась область от выключенного компьютера (область “О1а”). Характерно, что в обеих областях находились выключенные электронные приборы.

По показаниям оператора П2 (Рис. 5а), изменения проявились в двух точках (“О2а” и “О2б” на Рис. 5а), каждая размером 30-40 см. Пятно “О2а” отстоит от места установки на 50 см и находится на границе “О1б”, пятно “О2б” - на противоположной границе “О1б” - по диагонали.

VI. ИЗМЕРЕНИЯ ПОСЛЕ РАБОТЫ ГЕНЕРАТОРА А.В.БОБРОВА (Г2)

Генератор Боброва представляет из себя светодиодный излучатель с питанием от сети, в корпусе ручного электрического фонаря (диаметр излучателя около 15 см). Он ставился на пол в точке Г2 (Рис. 6) на 5 минут, и светил вверх.

Изменение картины по оператору Б (Рис. 6б) показывает отрицательную область слева от установки, а также две аномальные области (с отрицательным знаком), которых на предыдущих измерениях не наблюдалось (координатные точки 17, 18 и 19). В точках рядом с установкой генератора Боброва наблюдался слабо положительный фон (напомним, что место установки генераторов Г1 отстоит от Г2 всего на 50 см, и на предыдущем измерении оператор Б в этой зоне были большие отрицательные значения).

По данным оператора П1, аномальные области “О1а” и “О1б” уменьшились (Рис. 6а), но при этом возникла аномальная область “О1в” диаметром около 1 м. Положение этой зоны перекрывается с местом установки генератора Боброва.

Оператор П2 (Рис. 6а) отметил, что область “О2б” с последнего измерения увеличилась, а область “О2а”

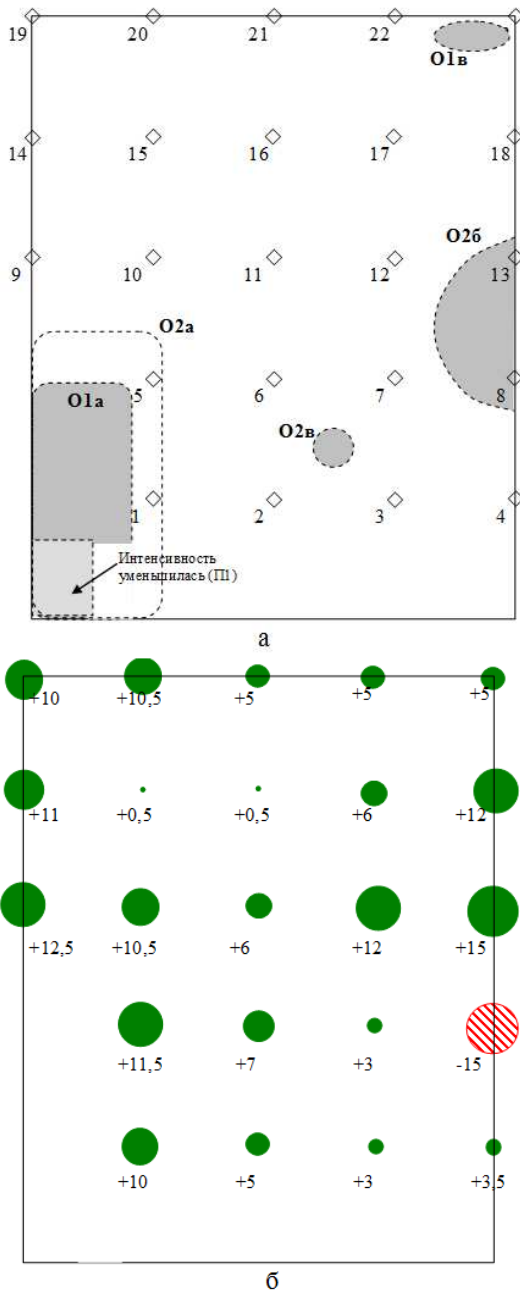


Рис. 4. Результаты замеров после “очистки” помещения. а) Зоны, отмеченные операторами П1 и П2. б) Биолокационные замеры оператора Б.

переместилась. Эта область находится рядом с местом установки генератора Боброва (расстояние примерно 20 см).

VII. Повторная “очистка” и измерения геопатогенных сеток оператором Б

После воздействия двух генераторов и измерений было решено провести повторную “очистку” помещения по той же методике. После неё оператор Б с ассистентом выполнил поиск геопатогенных сеток.

С Г-образными рамками оператор биолокации в исследуемой комнате задаёт себе задание: “Поиск сетки

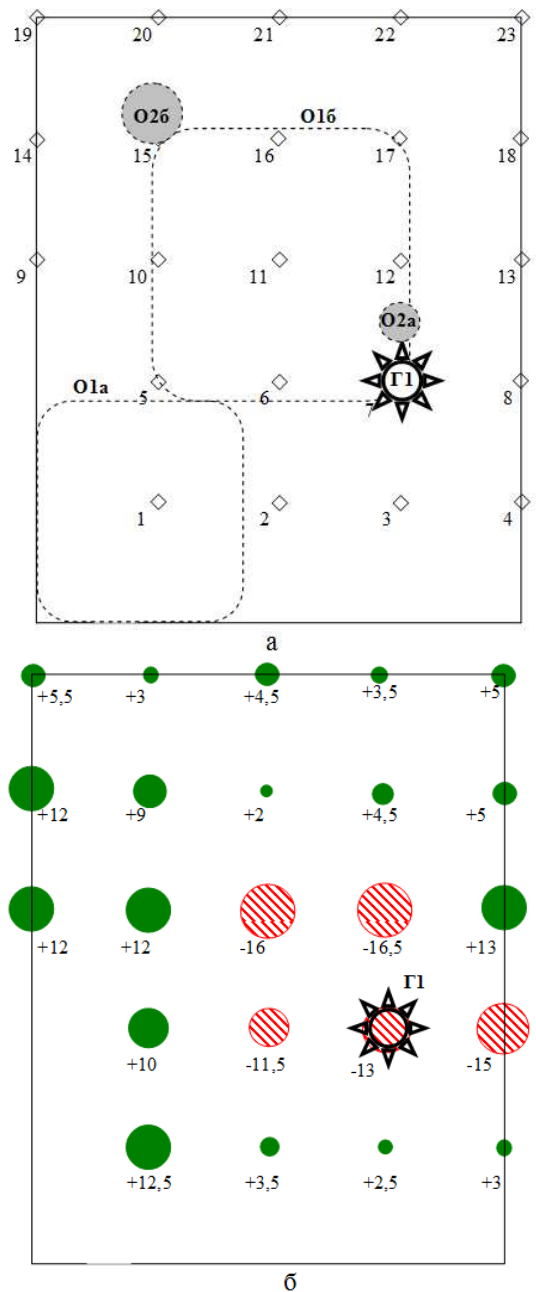


Рис. 5. Результаты замеров после включения генератора Г1 в точке 7. а) Зоны, отмеченные операторами П1 и П2. б) Замеры оператором Б.

геопатогенных зон”. Рамки сходятся крестообразно у него в руках. Это ответ “Да”. Далее оператор, идя по комнате, ловит первый сигнал “Да” (по этому заданию). То есть, оператор обнаружил линию и находится на ней. Далее он поворачивается так, чтобы угол поворота рамок сравнялся. И идёт по линии ГПЗ до тех пор, пока рамки не качнутся резко навстречу друг другу. Это “узел” ГПЗ. И линии и узлы ГПЗ помощник оператора (регистратор) наносит на план помещения, сообразуясь с регулярной сеткой квадратов 1x1 м, выложенных на полу комнаты.

Этот поиск дал картину, показанную на Рис. 7.

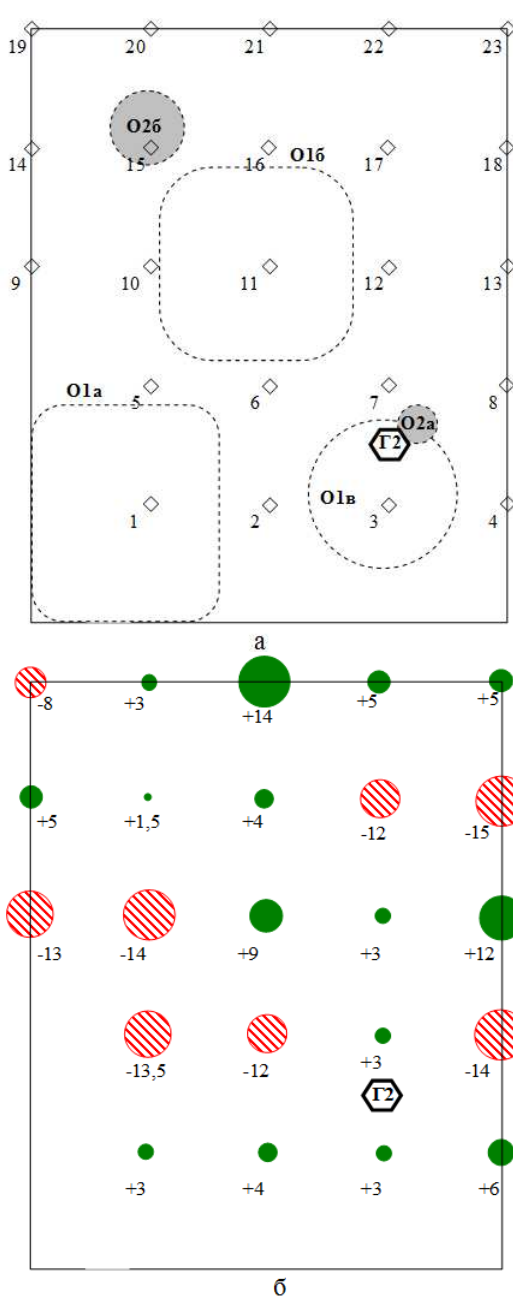


Рис. 6. Результаты замеров после включения генератора Г2. а) Зоны, отмеченные операторами П1 и П2 (области оператора П2 залиты серым цветом). б) Результаты оператора Б.

Отметим некоторое сходство с картиной, найденной оператором П1 в первом фоновом измерении - Рис. 2 (общее направление линий, совпадение некоторых точек узлов), однако шаг сетки другой.

VIII. ИЗМЕРЕНИЯ ПОСЛЕ РАБОТЫ ГЕНЕРАТОРА ЕГОРОВА (Г3)

После отработки в течение 5 минут третьего генератора (электроторсионный генератор Егорова на основе цилиндрического конденсатора, с напряжением 9 В) работали два оператора - Б и П1. По данным оператора Б,

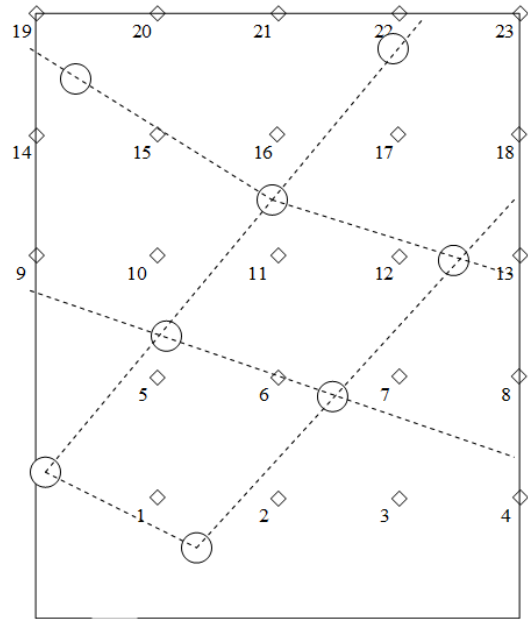


Рис. 7. Геопатогенная сетка по результатам оператора Б, после повторной “очистки” помещения.

видна отрицательная область сложной формы вокруг места установки генератора (Рис. 8б).

Оператором П1 отмечено практически полное исчезновение больших аномальных областей (“O1a”, “O1б”, “O1в” на Рис. 6), что может быть следствием очистки помещения. В области установки генератора оператором П1 никаких аномалий замечено не было. Примечательно, что единственные три небольших пятна, которые были найдены оператором П1 (области “M1a”, “M1б”, “M1в” на Рис. 7), находились на геопатогенной линии, отмеченной оператором Б (почти точно в узлах, им отмеченных – см. Рис. 7), а также близко к линии, ранее отмеченной оператором П1 (Рис. 2). Эти три пятна оператор П1 связывал с областью нахождения кусков защитных материалов (см. часть 2 настоящей статьи), над чемоданом от ИГА-1, а также над портфелем одного из участников совещания - области “M1a”, “M1б”, “M1в” соответственно.

IX. ДОПОЛНИТЕЛЬНЫЕ ЭКСПЕРИМЕНТЫ С ФИКСАЦИЕЙ ФАНТОМОВ ОТ ГЕНЕРАТОРА БОБРОВА

Кроме описанных выше экспериментов по постановке и поиску фантомов, Ю.П. Кравченко и А.В. Бобровым были проведены эксперименты по замеру пространственного положения луча генератора Боброва с помощью прибора ИГА-1. В первом варианте в небольшом помещении, отличном от ранее проводившихся экспериментов, генератор держался в руках на уровне 1,5-2 м и светил горизонтально. С помощью ИГА-1 на расстоянии около 2-3 метров в том же небольшом помещении замерялись границы в плоскости, перпендикулярной лучу. Границы примерно соответствовали диаметру светодиодного излучателя. Затем через несколько минут работы генератор выключался и убирался, и с

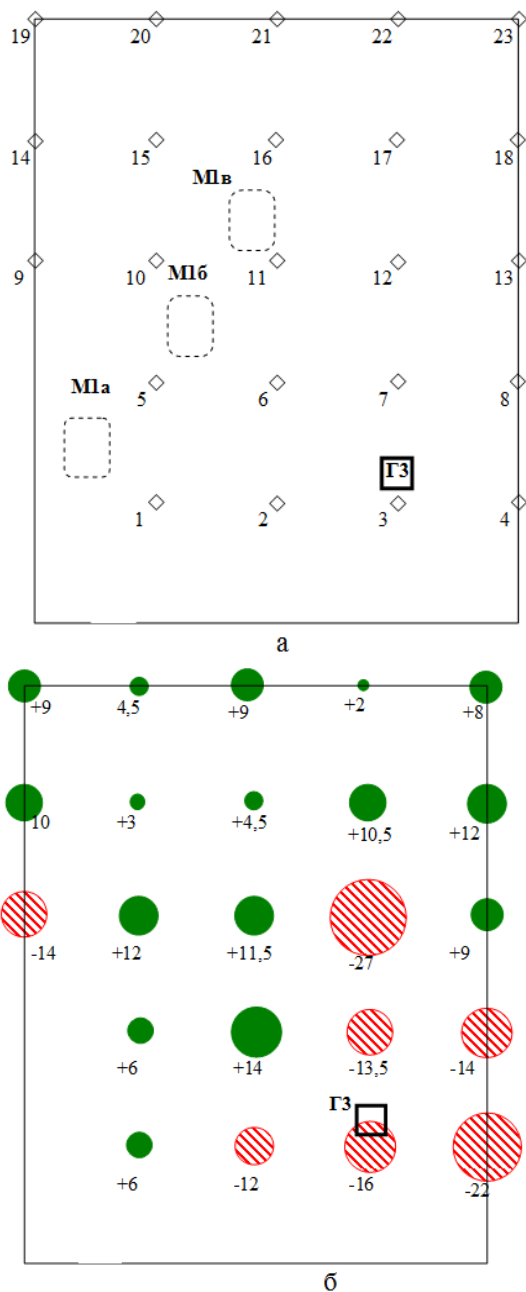


Рис. 8. Результаты замеров после включения генератора ГЗ. а) Участки, отмеченные оператором П1. б) Результаты оператора Б.

помощью ИГА-1 замерялся фантом – он оказывался примерно в тех же границах, что и при включённом генераторе.

Х. ОБСУЖДЕНИЕ РЕЗУЛЬТАТОВ И ПРЕДВАРИТЕЛЬНЫЕ ВЫВОДЫ

Попытки найти следы установки торсионных генераторов (фантомов) показали довольно сложную картину изменения полей, влияющих на показания ИГА-1 и замеряемых биолокационным методом. Более-менее уверенно говорить о совпадении/перекрытии найден-

ных аномальных мест с местам установки генераторов можно лишь в 5 из 8 измерений (62%).

Картину, по-видимому, усложняли следующие факторы:

1) Все три генератора ставились очень кучно - в пределах одного квадратного метра, почти на одном и том же месте (примечательно, что постановка генераторов была независимой - каждый ставивший не знал, где стояли предыдущие генераторы). Это могло приводить к сложной картине наложения фантомов.

2) Генераторы были разной конструкции и использовали разные физические принципы для своей работы (статическая пассивная конструкция, светодиодный излучатель с импульсным питанием, цилиндрический конденсатор с постоянным напряжением на обкладках). Разные генераторы могли быть источниками различных по своим действиям излучений, а также по-разному взаимодействовать с картиной, образуемой источниками земных и техногенных излучений.

3) Опыты проводились в рабочий день в ВНИЦТНМ "ЭНИОМ", в лаборатории биофизического тестирования. В момент проведения эксперимента в соседних комнатах шли сеансы целительства, а в связи с совещанием в других помещениях и в коридоре проходили другие эксперименты с торсионными генераторами и датчиками, некоторые авторы которых, судя по всему, имеют ещё и явные экстрасенсорные способности. Учитывая предположительно высокую проницаемость стен и этажных перекрытий для изучаемых полей, всё это могло динамически влиять на результаты измерений.

4) Возможно, мог влиять фактор "заставленности" лаборатории мебелью, а также наличия в помещении большого количества приборов, хотя и выключенных.

Полученные результаты предварительны и могут рассматриваться лишь как первый заход команды исследователей в тему работы с фантомами от торсионных генераторов. Эти результаты иллюстрируют сложность понимания механизмов взаимодействия техногенных и естественных источников полей, регистрируемых биолокационными рамками и прибором ИГА-1.

Выводы, которые можно сделать по результатам экспериментов:

- 1) Эксперименты необходимо ставить в условиях более спокойного "фона", в безлюдном месте, вне факторов техногенного влияния.
- 2) Методику замеров с ИГА-1 необходимо развить в сторону большей строгости, в частности, надо калибровать связки "оператор+прибор" по чувствительности, если одновременно участвует несколько операторов и приборов ИГА-1, и отмечать по возможности цифровые значения фазовых градиентов в разных точках в разном направлении.
- 3) Надо набирать обширную статистику, устанавливая генераторы с известной диаграммой направленности в разных точках, предварительно

подробно исследовав динамику фоновой картины геопатогенных сеток на исследуемой площади.

Вполне возможно, что дальнейшие эксперименты могут показать связь расположения генераторов по отношению к геопатогенным сеткам с расположением и интенсивностью фантомов.